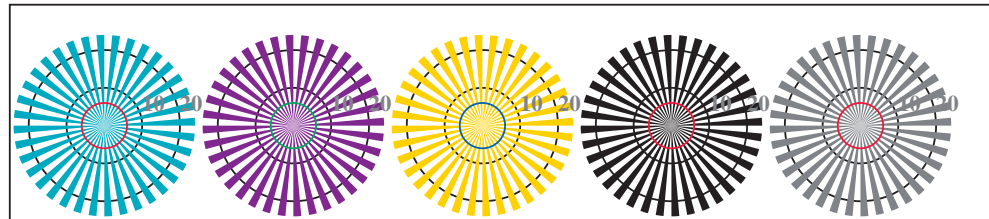


TF951-1, Fig. B4Wde: 16 équidistantes étapes  $W-C_e; W-M_e; W-Y_e; W-N$ ;  $rgb/cmy0 \rightarrow rgb_{de} setrgbcolor$

+-.: Q	O	O	O	C	lmno	C	O	C	O	pqrs	O	O	O	O	uvwxyz	O	O	O	O	uvw	O	O	O
xyz;	O	O	O	C	hijk	O	C	O	O	lmno	O	O	O	O	defg	O	O	O	O	pqrs	O	O	O
tuvw	O	O	O	C	defg	O	O	O	O	hijk	C	O	O	O	!abc	O	O	O	O	lmno	O	O	O
pqrs	O	O	O	C	!abc	O	O	O	O	+-.:	O	O	O	O	xyz;	O	O	O	O	tuvw	O	O	O
lmno	O	O	O	C	+-.:	O	O	O	O	xyz;	O	O	O	O	defg	O	O	O	O	defg	O	O	O
hijk	C	O	O	C	xyz;	O	O	O	O	defg	O	O	O	O	!abc	O	O	O	O	!abc	O	O	O
defg	O	O	O	C	defg	O	O	O	O	!abc	O	O	O	O	6	N	C <sub>e</sub> M <sub>e</sub> Y <sub>e</sub> Z						
!abc	O	O	O	C	!abc	O	O	O	O	8	N	C <sub>e</sub> M <sub>e</sub> Y <sub>e</sub> Z											
10	N	C <sub>e</sub> M <sub>e</sub> Y <sub>e</sub> Z																					

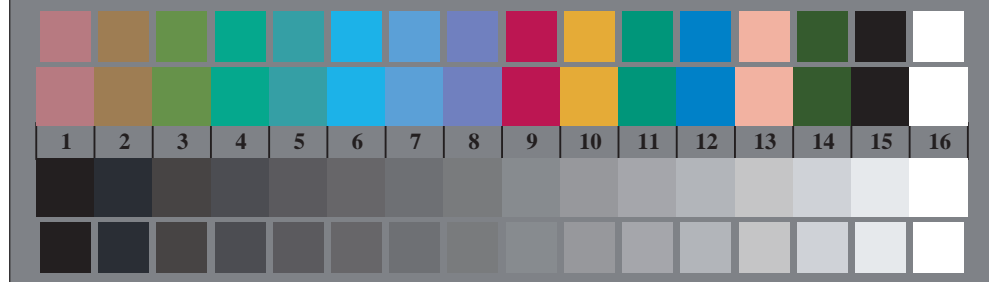
C<sub>e</sub>  
M<sub>e</sub>  
Y<sub>e</sub>  
N

TF951-3, Fig. B5Wde: code et Landolt anneauN; C<sub>e</sub>; M<sub>e</sub>; Y<sub>e</sub>; Z; PS operator  $rgb \rightarrow rgb_{de} setrgbcolor$

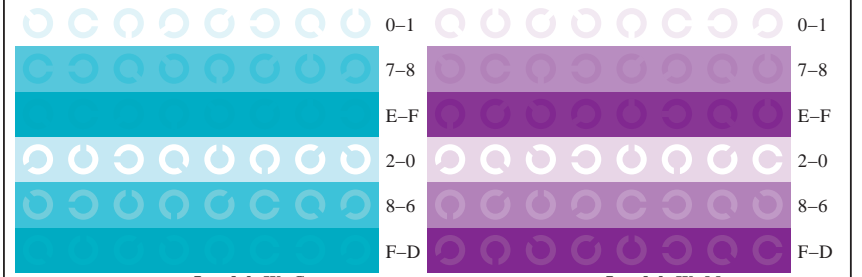


radial callebotis  $W-C_e$  radial callebotis  $W-M_e$  radial callebotis  $W-Y_e$  radial callebotis  $W-N$  radial callebotis  $W-Z$

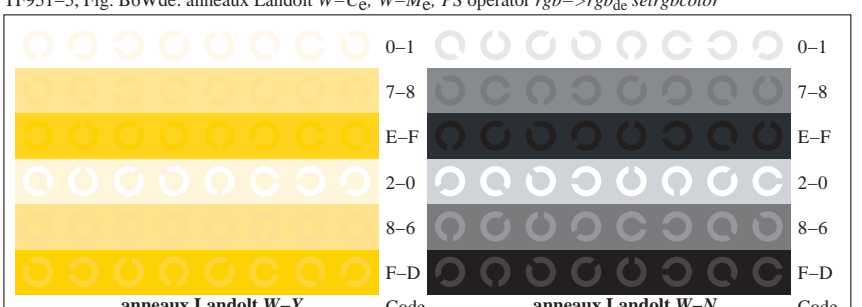
TF950-5, Fig. B2Wde: radial callebotis  $W-C_e; W-M_e; W-Y_e; W-N$ ; PS operator  $rgb \rightarrow rgb_{de} setrgbcolor$



TF950-7, Fig. B3Wde: 14 CIE test couleurs et 2 + 16 gris étapes (sf);  $rgb/cmy0 \rightarrow rgb_{de} setrgbcolor$



anneaux Landolt  $W-C_e$  Code anneaux Landolt  $W-M_e$  Code



anneaux Landolt  $W-Y_e$  Code anneaux Landolt  $W-N$  Code